

## EFEK DOPING $\text{Bi}_2\text{O}_3$ PADA KARAKTERISTIK ELEKTRIK BAHAN FEROELEKTRIK $\text{Ba}_{0.95}\text{Sr}_{0.05}\text{TiO}_3$

Puji Hariati Winingsih<sup>1</sup> dan Suasmoro<sup>2</sup>

<sup>1</sup>Program Studi Pendidikan Fisika-FMIPA

Universitas Sarjanawiyata Tamansiswa (UST), Yogyakarta

<sup>2</sup>Jurusan Fisika-FMIPA, Institut Teknologi Sepuluh Nopember

Kampus Sukolilo Surabaya

e-mail: [jfisika\\_ust@yahoo.co.id](mailto:jfisika_ust@yahoo.co.id)

Diterima: 15 Januari 2014

Diperbaiki: 30 April 2014

Disetujui: 12 Mei 2014

### ABSTRAK

**EFEK DOPING  $\text{Bi}_2\text{O}_3$  PADA KARAKTERISTIK ELEKTRIK BAHAN FEROELEKTRIK  $\text{Ba}_{0.95}\text{Sr}_{0.05}\text{TiO}_3$ .** Artikel ini membahas perilaku karakteristik elektrik bahan  $\text{Ba}_{0.95}\text{Sr}_{0.05}\text{TiO}_3$  dengan *doping*  $\text{Bi}_2\text{O}_3$  pada rentang suhu suhu  $300^\circ\text{C}$  hingga  $650^\circ\text{C}$  dan atmosfer campuran  $\text{N}_2$  dan  $\text{O}_2$  dengan kadar oksigen 20 %, 40 %, 60 %, 80 %, 100 %. Sampel berupa pelet  $\text{Ba}_{0.95}\text{Sr}_{0.05}\text{TiO}_3$  dengan *doping*  $\text{Bi}_2\text{O}_3$  (0 % mol, 0,5 % mol dan 1,2 % mol). Kajian difusi oksigen menunjukkan saturasi dicapai setelah 30 menit, terutama pada suhu di atas  $400^\circ\text{C}$ . Cole-Cole plot menunjukkan adanya respon *granular* dan *intergranular* yang dipengaruhi oleh suhu. Diketahui bahwa  $\text{Ba}_{0.95}\text{Sr}_{0.05}\text{TiO}_3$  merupakan semikonduktor tipe p. *Doping* menyebabkan kenaikan konduktivitas dan mengubah semikonduktor tipe p menjadi tipe n sampai *doping* 0,5 % karena konsentrasi elektron bebas lebih besar dari pada *hole*. *Doping* yang berlebih ( $> 1$  % mol) menyebabkan konduktivitas tidak bergantung pada  $\text{pO}_2$  karena adanya vakansi oksigen yang menetralisir elektron bebas. Pada suhu  $\leq 500^\circ\text{C}$  impedansi kompleks didominasi oleh *grain boundary*. Pada suhu  $> 500^\circ\text{C}$  *grain boundary* sudah tidak dominan lagi. Besarnya energi aktivasi kurang sensitif terhadap tekanan oksigen, tetapi dipengaruhi oleh adanya *doping* dalam bahan.

**Kata kunci:** Dielektrik, Impedansi, Konduktivitas, Tekanan Oksigen

### ABSTRACT

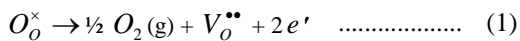
**ELECTRICAL CHARACTERISTICS OF A FERROELECTRIC MATERIALS OF  $\text{Ba}_{0.95}\text{Sr}_{0.05}\text{TiO}_3$  DOPED WITH  $\text{Bi}_2\text{O}_3$ .** This article discuss the behaviour of electrical characteristic of a ferroelectric materials of  $\text{Ba}_{0.95}\text{Sr}_{0.05}\text{TiO}_3$  doped with  $\text{Bi}_2\text{O}_3$  under controlled atmosphere of the mixture of  $\text{N}_2$  and  $\text{O}_2$  with oxygen content of 20 %, 40 %, 60 %, 80 % and 100 % at temperature range of  $300 - 650^\circ\text{C}$ . Samples in the form of pellets  $\text{Bi}^{3+}$  doped  $\text{Ba}_{0.95}\text{Sr}_{0.05}\text{TiO}_3$  with doping percentage (0,5; 1 and 2 mole %). The study showed that oxygen diffusion saturation was achieved after 30 minutes, especially at temperatures above  $400^\circ\text{C}$ . Cole-Cole plot shows the response of granular and intergranular which affected by temperature.  $\text{Ba}_{0.95}\text{Sr}_{0.05}\text{TiO}_3$  is p type semiconductor. The dopant makes conductivity increase and changes p type semiconductor to n type for 0,5 % doping. For samples doped  $> 1$  mol % the conductivity less sensitive to the  $\text{pO}_2$  due to the presence of oxygen vacancies that neutralize space charge. At temperatures  $\leq 500^\circ\text{C}$  grain boundary is longer dominant impedance complex. At temperatures  $> 500^\circ\text{C}$  grain boundary is no longer dominant. Further analysis shows that activation energy less sensitive to the oxygen atmosphere and largely influenced by the presence of doping.

**Keywords:** Dielectric, Impedance, Conductivity, Oxygen Pressure

## PENDAHULUAN

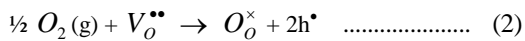
$\text{BaTiO}_3$  merupakan bahan feroelektrik yang mempunyai resistansi dan permitivitas yang tinggi.  $\text{BaTiO}_3$  dapat menjadi oksida semikonduktor pada suhu tinggi yang dipengaruhi oleh tekanan oksigen dari luar. Pada rentang suhu  $600\text{ }^\circ\text{C}$  hingga  $1200\text{ }^\circ\text{C}$ , pada kurva konduktivitas sebagai fungsi tekanan oksigen untuk bahan  $\text{BaTiO}_3$ , terdapat tiga daerah yang memiliki kemiringan berbeda yaitu  $-\frac{1}{6}$ ,  $-\frac{1}{4}$  dan  $+\frac{1}{4}$  yang menunjukkan adanya *defect* struktur yang berbeda pada bahan. Hasil serupa diperoleh peneliti sebelumnya untuk bahan  $\text{Ba}_{0.03}\text{Sr}_{0.97}\text{TiO}_3$  dimana perubahan kemiringan kurva yang dieksplorasi di atas bergantung pada suhu [1].

Pada tekanan oksigen rendah ( $p\text{O}_2 < 10^{-10}\text{ Pa}$ ), oksigen dalam bahan dapat lepas meninggalkan vakansi oksigen dan untuk menjaga keseimbangan elektronik, timbul elektron bebas [2]. Hal ini dapat dilihat melalui persamaan kesetimbangan reduksi sesuai Persamaan(1):



Pada tekanan oksigen sedang ( $10^{-10} < p\text{O}_2 < 10^0\text{ Pa}$ ), vakansi oksigen ditentukan oleh faktor eksternal (pengotor), tidak dipengaruhi oleh tekanan oksigen dan menyebabkan kemiringan kurva menjadi  $-\frac{1}{4}$ .

Dalam kondisi tekanan oksigen tinggi ( $10^{-5}-10^5\text{ Pa}$ ) kurva mempunyai kemiringan  $\frac{1}{4}$  terkait dengan oksigen masuk ke dalam bahan melalui pengisian vakansi oksigen sebagaimana ditunjukkan pada persamaan reaksi *defect* sesuai Persamaan(2):



Respon dielektrik dari bahan di dalam medan listrik sesuai Persamaan(3):

$$k^* = k' - jk'' \quad \dots \quad (3)$$

Dimana :

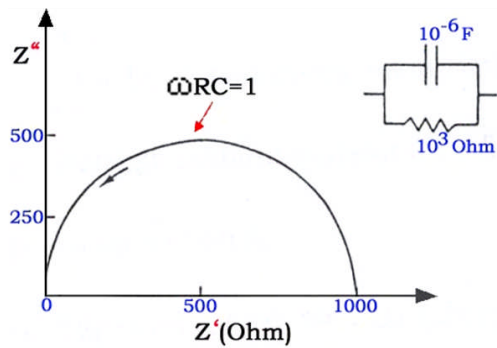
- $k^*$  = Permitivitas kompleks,
- $k'$  = Permitivitas imajiner
- $k''$  = Permitivitas riil

Faktor disipasi dapat ditentukan sesuai dengan Persamaan(4):

$$\tan \delta = k''/k' \quad \dots \quad (4)$$

Relaksasi dipol dalam medan listrik AC dapat teramat dari persamaan  $k^* = f(\nu)$  maupun  $\tan \delta = f(\nu)$ .

Bila sumber listrik AC dikenakan pada poli kristalin, respon elektrik sampel dapat dipandang sebagai rangkaian seri paralel dari  $R_g$ ,  $C_g$  dan  $R_{gb}$ ,  $C_{gb}$  (Gambar 1). Pada umumnya  $R_{gb}$  lebih besar dari  $R_g$ , karena di dalam



Gambar 1. Kombinasi rangkaian *RC grain* dan *grain boundary* [2]

$R_{gb}$  terdapat ‘*mismatch*’ kristalin. Respon tersebut sesuai dengan Persamaan(5).

$$Z^* = \left[ \frac{R_g}{1+(aCR_g)^2} - j \frac{R_g^2 C}{1+(aCR_g)^2} \right] + \left[ \frac{R_{gb}}{1+(aR_{gb}C)^2} - j \frac{R_{gb}^2 C}{1+(aR_{gb}C)^2} \right] \dots \dots (5)$$

Dimana :

$R_g$  = Resistansi *grain*

$C_g$  = Kapasitansi *grain*

$R_{gb}$  = Resistansi *grain boundary*

$C_{gb}$  = Kapasitansi *grain boundary*

$\omega$  = Frekuensi sudut

Analisis impedansi kompleks banyak digunakan dalam mengeksplorasi sifat La-doped  $\text{BaTiO}_3$ , dan Fe-doped  $\text{SrTiO}_3$  [2-6]. Dalam hal ini rangkaian seri paralel *RC grain* dan *grain boundary* bersesuaian antara model dua *loop* dengan respons percobaan.

Dengan membuat kurva *ReZ* (*real*) terhadap *Im-Z* (*imager*) (*Cole-Cole plot*) akan diperoleh kurva setengah lingkaran. Setiap setengah lingkaran merupakan respon dari satu rangkaian paralel *RC*. Oleh karena itu dalam model yang diberikan akan berkaitan dengan jumlah kurva setengah lingkaran yang muncul dari pengukuran dan konduktivitas dapat dideduksi dari kurva ini. Ketergantungan konduktivitas terhadap suhu dari setiap sampel menuruti hubungan *Archenius* seperti Persamaan(6).

$$\sigma = \sigma_0 \exp\left(-\frac{\Delta E}{kT}\right) \quad \dots \dots \quad (6)$$

Kajian penempatan bismut dalam  $\text{BaTiO}_3$  menggunakan analisis *X-Ray Diffractometer (XRD)*, menunjukkan bahwa atom  $\text{Bi}^{3+}$  akan mensubstitusi atom  $\text{Ba}^{2+}$  sehingga memaksa pembentukan vakansi Ti untuk menjadikan komposisi  $(\text{Ba}_{1-x}\text{Bi}_x)\text{Ti}_{1-x/4}(\text{v}_{\text{Ti}})_{x/4}\text{O}_3$  ( $x < 0.015$ ) [5].

Dalam penelitian ini akan dipelajari bagaimana  $\text{Bi}^{3+}$  mempengaruhi karakteristik listrik bahan yang meliputi permitivitas, impedansi, konduktivitas dan *defect* yang terbentuk.

## METODE PERCOBAAN

### Bahan dan Alat

Dalam penelitian ini digunakan sampel berupa *pellet*  $\text{Ba}_{0.95}\text{Sr}_{0.05}\text{TiO}_3$  dengan *doping*  $\text{Bi}_2\text{O}_3$ . Pendopingan dilakukan dengan menambahkan hingga 2 %mol  $\text{Bi}_2\text{O}_3$  ke  $\text{Ba}_{0.95}\text{Sr}_{0.05}\text{TiO}_3$  dengan menggunakan *planetary mill* yang merupakan proses pencampuran dan pemecahan partikel. Proses *milling* ini menggunakan media etanol dan *stabilized zirconia* yang diputar dengan kecepatan 250 rpm selama 1 jam. Selanjutnya bubuk dicetak membentuk *green pellet* berdiameter 13 mm dan ditekan 100 Mpa. *Green pellet* kemudian disinter pada suhu 1300 °C selama 2 jam.

### Cara Kerja

Karakteristik listrik yang diukur meliputi dielektrik/*losses*, dengan memasukkan sampel dalam tabung gelas kemudian dipanaskan dalam tungku pada suhu 300 °C hingga 650 °C dan atmosfer campuran  $\text{N}_2$  dan  $\text{O}_2$  dengan kadar oksigen 20 %, 40 %, 60 %, 80 %, 100 %. Kemudian dilakukan pengukuran impedansi dan konduktivitas dengan LCR meter FLUKE PM 6306 pada frekuensi 50 Hz hingga 1 MHz.

## HASIL DAN PEMBAHASAN

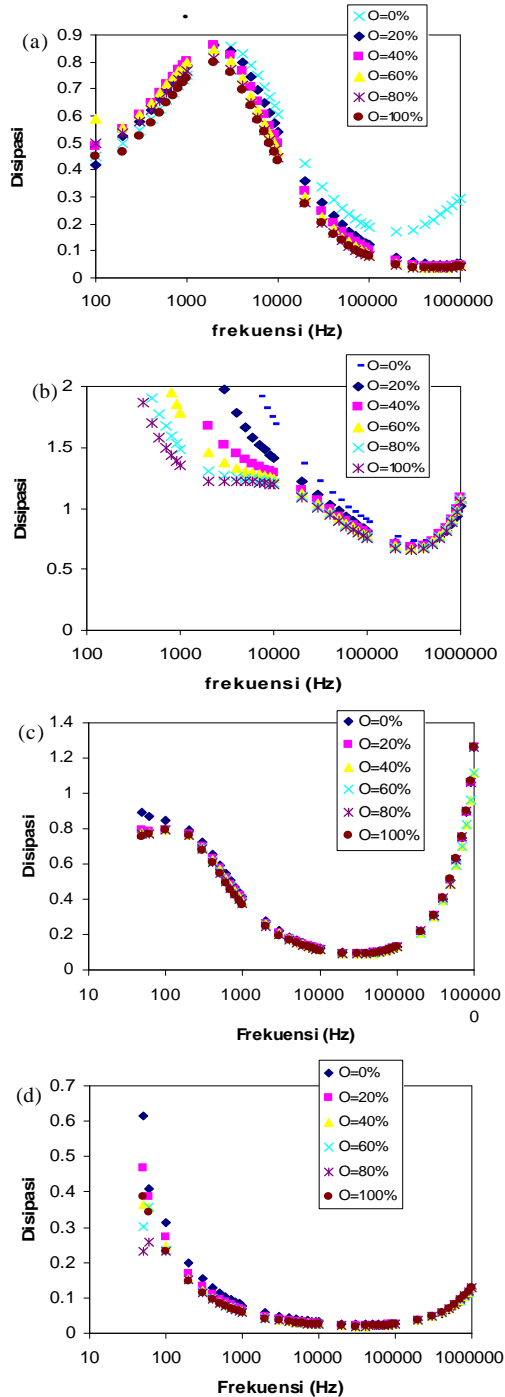
### Plot Cole-Cole Permititivitas

Pada suhu tinggi ( $T > T_c$ ) yaitu  $T = 300$  °C hingga 650 °C dan  $T_c \infty$ , sampel berstruktur kubik sehingga dalam hal ini tidak ada dipol permanen kisi. Gambar 2 (a), menunjukkan adanya fenomena relaksasi yaitu pada frekuensi 1,2 kHz. Ini menandakan adanya dipol *granular* dari *defect*. Gambar 2 (b) teramat disipasi yang bertambah besar dan terjadi pergeseran frekuensi relaksasi ~ 10 kHz. Gambar 2 (c) dan 2 (d) yang teramat dominan adalah *losses*. Terhadap tekanan oksigen teramat bahwa disipasi tidak sensitif, kecuali pada *doping* 0,5 % pada frekuensi rendah. Hal ini menandakan adanya perubahan yang signifikan dengan adanya *doping*  $\text{Bi}^{3+}$ .

Plot dan (*Cole-Cole plot*), menunjukkan adanya relaksasi *losses* dan jari-jari semisirkel (setengah lingkaran) 3 kilo yang disebabkan oleh dipol *defect* (Gambar 3(a)). Penambahan tekanan oksigen pada suhu tinggi menyebabkan sampel semakin konduktif [6]. Dengan reaksi *defect* adalah:



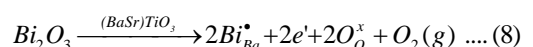
Bila dibandingkan dengan penelitian sebelumnya terdapat kesesuaian yaitu pada jumlah ion ( $\text{Ba}+\text{Sr}$ )/ $\text{Ti} \sim 1,01$ . Sehingga kemungkinan terdapat vakansi Ti karena jumlah ion Ti lebih sedikit, sehingga terbentuk  $(\text{Ba},\text{Sr})\text{Ti}(1-x)\text{O}_3$  [7] Kemungkinan pasangan vakansi Ti adalah vakansi oksigen karena dengan

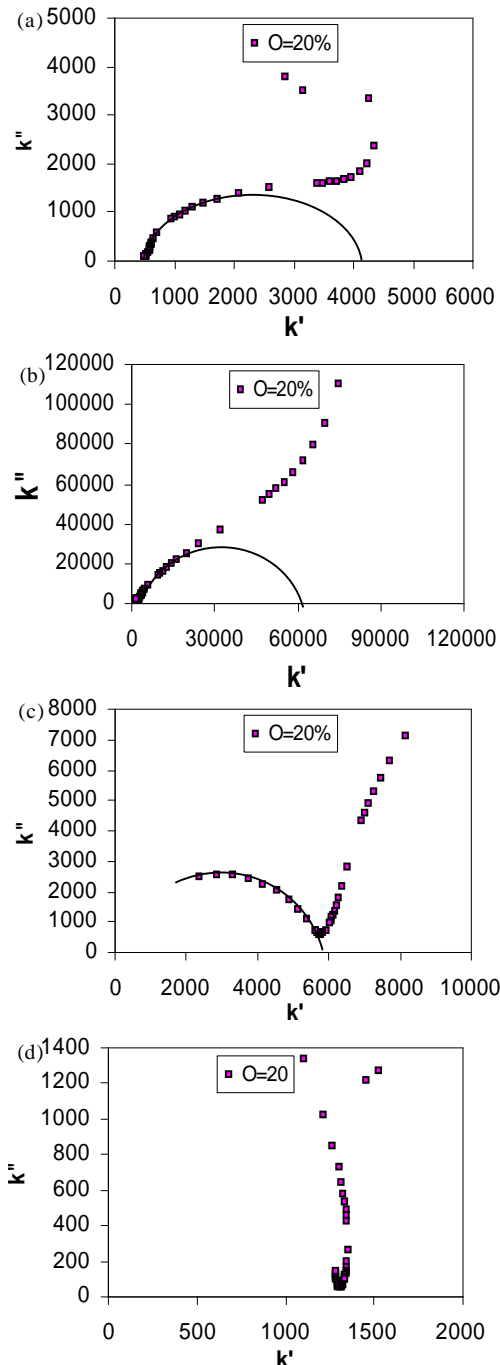


Gambar 2. Pengaruh disipasi terhadap frekuensi  $\text{Ba}_{0.95}\text{Sr}_{0.05}\text{TiO}_3$  pada  $T=300$  °C dan  $p\text{O}_2$  40 % (a). Tanpa *doping*, (b). 0,5 %  $\text{Bi}_2\text{O}_3$ , (c). 1 %  $\text{Bi}_2\text{O}_3$  dan (d). 2 %  $\text{Bi}_2\text{O}_3$

penambahan tekanan oksigen pada suhu tinggi menyebabkan sampel semakin konduktif [8].

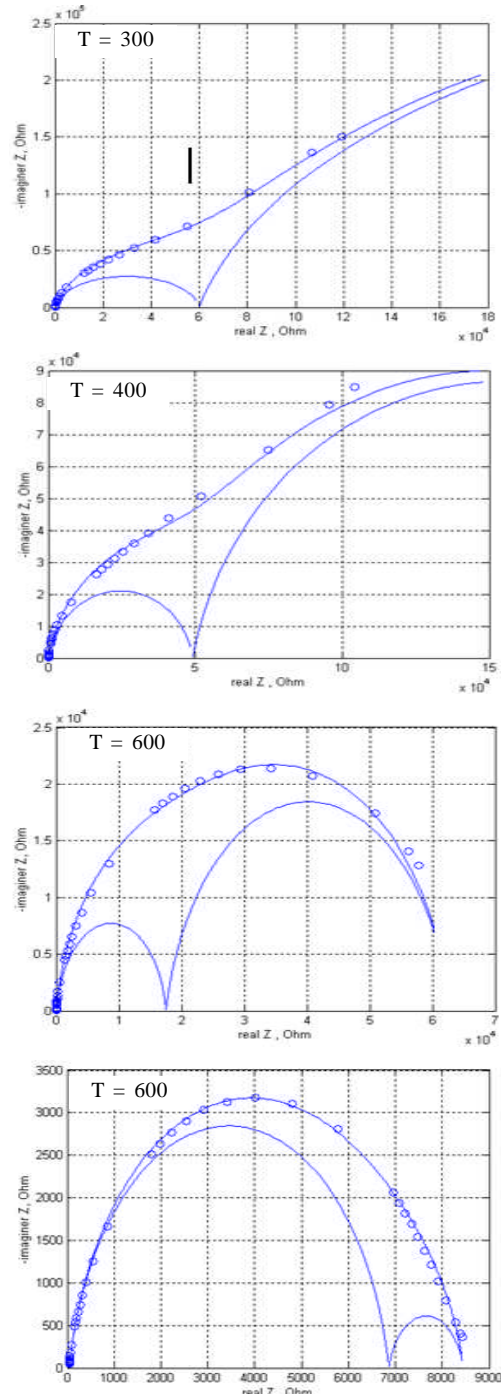
Pada Gambar 3(b) teramat *losses* yang semakin besar dan jari-jari semisirkel (setengah lingkaran) yang disebabkan oleh elektronik karena ion  $\text{Bi}^{3+}$  mulai menempati  $\text{Ba}^{2+}$ . Adapun reaksinya seperti pada Persamaan (8):





Gambar 3. Cole-Cole plot pada suhu 400 °C dan  $pO_2$  20 % (a). Tanpa doping, (b). 0,5 %  $Bi_2O_3$ , (c). 1 %  $Bi_2O_3$ , (d). 2 %  $Bi_2O_3$

Gambar 3(c) teramati adanya kombinasi dipol *defect* dan *long range dipole* yang ditunjukkan oleh adanya jari-jari semisirkel (setengah lingkaran). Teramatinya jari-jari semisirkel (setengah lingkaran) tersebut menandakan adanya relaksasi dari dipol *granular* (dipol yang terjadi di dalam *grain*). Pengaruh medan listrik mengakibatkan muatan akan terperangkap dipermukaan *grain* ( $R_g$  kecil) dan tidak dapat menembus *grain boundary* ( $R_{gb}$  besar). Pada Gambar 3 (d) tidak teramati adanya jari-jari semisirkel (setengah lingkaran)

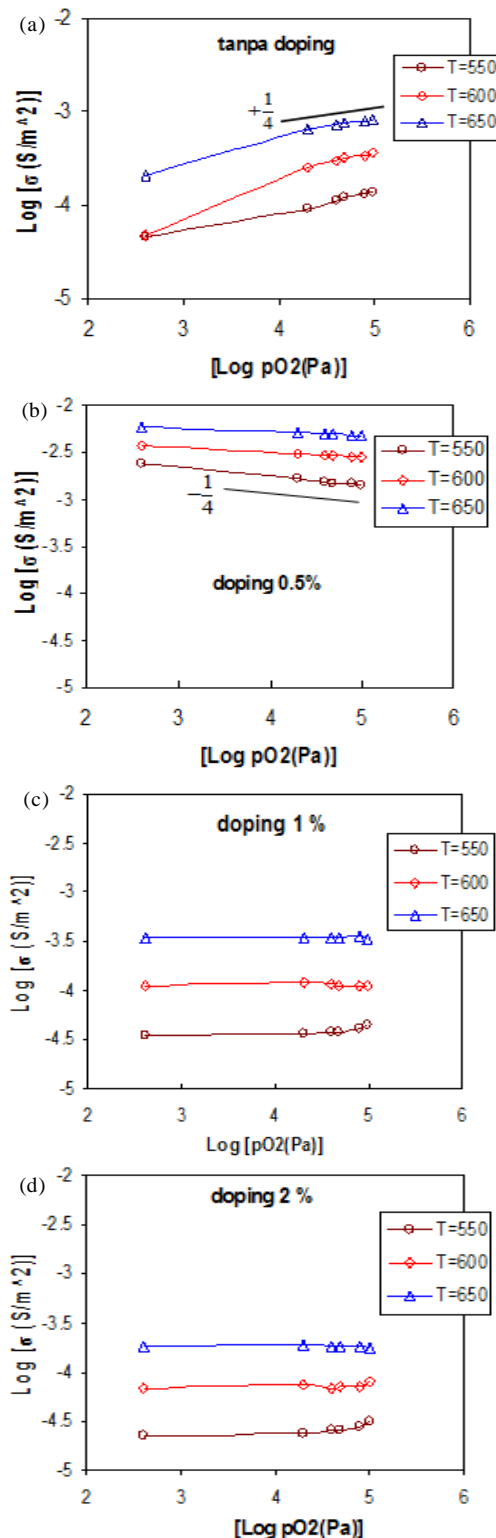


Gambar 4. Cole-Cole plot impedansi kompleks dengan doping 1 % pada  $pO_2$  20 % dan variasi suhu

hal ini disebabkan adanya penempatan Bi pada Ba dan juga *grain boundary* sudah mulai rusak sehingga yang terlihat *losses*.

### Plot Cole-Cole Impedansi

Bentuk kristalin dari keramik dapat dipandang sebagai rangkaian RC paralel bila diberi medan listrik [9]. Hubungan impedansi riil dan imajiner diberikan oleh Persamaan 4. Plot Cole-Cole pada sampel tanpa *doping*,



Gambar 5. Konduktivitas listrik bahan  $\text{Ba}_{0.95}\text{Sr}_{0.05}\text{TiO}_3$  sebagai fungsi  $p\text{O}_2$  pada variasi suhu, (a). tanpa *doping*, (b). 0,5 %  $\text{Bi}_2\text{O}_3$ , (c). 1 %  $\text{Bi}_2\text{O}_3$  dan (d). 2 %  $\text{Bi}_2\text{O}_3$

dan doping 0,5 % mol hingga 2%mol dengan konsentrasi oksigen 20 % ditunjukkan oleh Gambar 4.

Karakteristik umum sampel tanpa *doping* pada variasi suhu, tekanan oksigen dan jumlah *doping* adalah bahwa resistansi total sampel menurun dengan

naiknya suhu untuk atmosfer yang sama. Semakin kecil kandungan oksigen, sampel semakin konduktif dan semakin besar kandungan oksigen, sampel semakin resistif. Tetapi untuk sampel tanpa *doping* menunjukkan kebalikannya.

Pada suhu rendah terdapat dua semisirkel (setengah lingkaran) yang bersifat lebih resistif dibandingkan pada suhu tinggi (konduktif). Terhadap kandungan *doping*, sampel memberikan respon yang berbeda, yaitu pada *doping* 0,5 %mol bahan semakin konduktif sedangkan pada kandungan *doping* 1 %mol dan 2 %mol bahan semakin resistif.

Pada suhu tinggi ( $T > T_c$ ), kurva impedansi riil dan imajiner menunjukkan dua semisirkel (setengah lingkaran) besar yang merepresentasikan  $R_g$  dan  $R_{gb}$  seperti ditunjukkan pada Gambar 4. Teramat pada suhu  $\leq 500$  °C impedansi kompleks didominasi oleh *grain boundary*. Perlu dicatat bahwa untuk suhu  $\leq 500$  °C memberikan respon yang kurang konsisten karena peran *grain boundary* masih dominan bila atmosfer bervariasi. Pada suhu  $> 500$  °C *grain boundary* sudah tidak dominan.

Analisis selanjutnya adalah menghitung konduktivitas dari Persamaan (9):

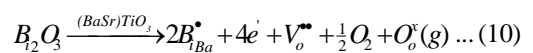
$$\sigma = \frac{1}{R_g + R_{gb}} \quad \dots \dots \dots \quad (9)$$

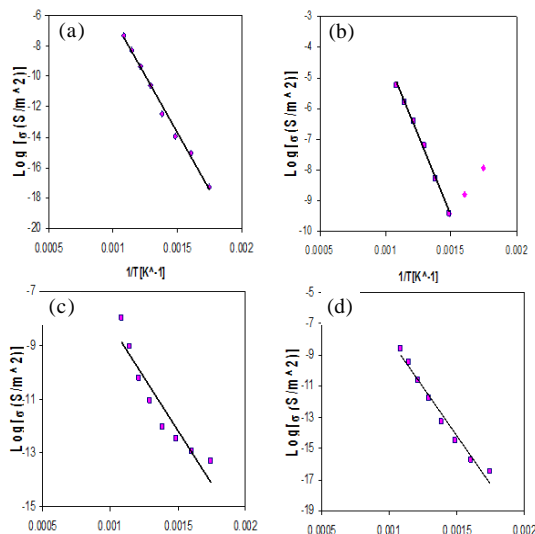
Selanjutnya dibuat grafik  $\ln$  terhadap  $\ln p\text{O}_2$  dan  $\ln$  terhadap  $1/T$ , dimana hasil perhitungan ditunjukkan oleh Gambar 4 dan Gambar 5.

Gambar 5 menunjukkan bahwa untuk sampel tanpa *doping* pada  $p\text{O}_2 \sim 10^0$  Pa hingga  $10^5$  Pa tangen arah grafik merupakan semikonduktor tipe p. Jika dibandingkan dengan penelitian sebelumnya menunjukkan perubahan arah tangen terjadi pada  $p\text{O}_2 > 10^{-5}$  Pa, maka pada percobaan ini sudah sesuai dengan penelitian sebelumnya yaitu tipe p teramat pada  $p\text{O}_2 > 10^{-5}$  Pa [2].

Pada sampel dengan *doping*  $\text{Bi}^{3+}$  terlihat tangen arah  $\log$  terhadap variasi  $\log p\text{O}_2$  berubah menjadi negatif pada  $10^0$  Pa hingga  $10^5$  Pa. Ini menunjukkan bahwa bahan merupakan semikonduktor tipe n. Hal ini dapat diterangkan oleh adanya peranan elektron bebas yang dominan.

Bila kadar  $\text{Bi}^{3+}$  diperbesar (1 %mol dan 2 %mol) terlihat kurva hampir horizontal dimana terjadi adanya perubahan karakterisasi dari tipe-n menjadi tidak bergantung pada  $p\text{O}_2$ . Dalam keadaan ini timbul sejumlah *hole* dengan adanya vakansi Ba yang menetralisir elektron bebas hingga reaksi *defectnya* sesuai dengan Persamaan (10). Pada pendopingan rendah 0,5 mol % reaksi *defect* pada saat diberi tekanan oksigen rendah seperti Persamaan (10):



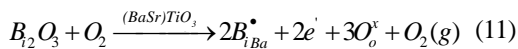


**Gambar 6.** Konduktivitas listrik terhadap suhu dengan  $pO_2$  20 % (a). Tanpa *doping*, (b). 0,5 %  $Bi_2O_3$ , (c). 1 %  $Bi_2O_3$ , (d). 2 %  $Bi_2O_3$

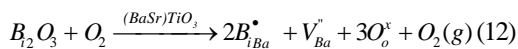
**Tabel 1.** Energi aktivasi  $BaSrTiO_3$  yang didoping  $Bi_2O_3$

$Bi^{3+}$	$E_a = f(pO_2(\%)) \text{ eV}$					
	0	20	40	60	80	100
0 %	1,02(5)	1,29(5)	1,22(5)	1,26(5)	1,26(5)	1,26(5)
0,5 %	0,53(5)	0,49(5)	0,42(5)	0,83(5)	0,87(5)	0,89(5)
1 %	0,68(5)	0,67(5)	0,67(5)	0,68(5)	0,68(5)	0,68(5)
2 %	1,05(5)	1,07(5)	1,09(5)	1,06(5)	0,97(5)	1,14(5)

Reaksi *defect* pada saat diberi tekanan oksigen tinggi ditunjukkan oleh Persamaan (11):



Pada pendopingan tinggi (1 % mol dan 2 % mol) (Gambar 5) diketahui kurva horizontal pada  $pO_2$   $10^0$  Pa hingga  $10^5$  Pa tidak ada vakansi oksigen sehingga reaksi *defectnya* seperti Persamaan (12):



Dari persamaan *Arhenius* [4,10] bila diplot ln terhadap  $1/T$  (Gambar 6) maka diperoleh energi aktivasi pada sampel tanpa dan dengan *doping* tidak berpengaruh terhadap  $pO_2$  (Tabel 1).

## KESIMPULAN

Analisis *Cole-cole plot* menunjukkan bahwa terjadi penurunan relaksasi *losses* pada penambahan *doping* Bi karena jumlah elektron bebas yang menurun. Resistansi total menurun dengan naiknya suhu untuk atmosfer yang sama. Pengaruh  $pO_2$  pada suhu tinggi menunjukkan bahan merupakan semikonduktor tipe p dalam rentang atmosfer yang dicobakan. Pemberian

bahan doping merubah jenis bahan semikonduktor dari tipe p menjadi tipe n akibat adanya elektron bebas sampai dengan doping 0,5 %. Defek menyebabkan timbulnya elektron bebas yang konsentrasiya lebih besar daripada hole, sehingga bahan menjadi tipe n. Doping yang berlebih menyebabkan konduktivitas tidak bergantung pada oksigen karena doping tinggi ( $> 1\%$ ) menyebabkan vakansi Ba yang menetralisir elektron bebas. Energi aktivasi pada sampel tanpa dan dengan doping tidak begitu sensitif terhadap perubahan  $pO_2$ .

## UCAPAN TERIMAKASIH

Penelitian ini dibiayai oleh RUT XI, oleh karena itu penulis mengucapkan banyak terimakasih kepada Kementerian Riset dan Teknologi atas kepercayaannya.

## DAFTARACUAN

- [1]. K. Uchino, *Ferroelectric Devices*. Taylor & Francis, 2000.
- [2]. A. J. Moulson and J. M. Herbert, *Electroceramics: Materials, Properties, Applications*. Wiley, 2003.
- [3]. G. M. Choi and H. L. Tuller, "Defect Structure and Electrical Properties of Single-Crystal  $Ba_{0.03}Sr_{0.97}TiO_3$ ," *J. Am. Ceram. Soc.*, vol. 71, no. 4, pp. 201–205, 1988.
- [4]. F. D. Morrison, D. C. Sinclair, and A. R. West, "Characterization of Lanthanum Doped Barium Titanate Ceramics Using Impedance Spectroscopy," *J. Am. Ceram. Soc.*, vol. 84, no. 3, pp. 531–538, 2001.
- [5]. A. R. West, T. B. Adams, F. D. Morrison, and D. C. Sinclair, "Novel high capacitance materials:  $La-BaTiO_3$  and  $CaCu_3Ti_4O_{12}$ ," *J. Eur. Ceram. Soc.*, vol. 24, no. 6, pp. 1439–1448, 2004.
- [6]. J. Qi, W. Chen, Y. Wu, and L. Li, "Improvement of the PTCR Effect in  $Ba_{1-x}Sr_xTiO_3$  Semiconducting Ceramics by Doping of  $Bi_2O_3$  Vapor during Sintering," *J. Am. Ceram. Soc.*, vol. 81, no. 2, pp. 437–438, Feb. 1998.
- [7]. Suasmoro, "Karakteristik Permitivitas dan Resistivitas Terhadap Perubahan Temperatur Ferroelektrik  $Ba_{1-x}Sr_xTiO_3$ ," *Kappa*, vol. 2, no. 1, pp. 21–30, 2001.
- [8]. E. Hastuti, "Analisis Sifat Listrik dan Jenis Cacat Kristal Pada Bahan Dielektrik  $Ba_{0.95}Sr_{0.05}TiO_3$  dengan Doping  $Y_2O_3$ ," *J. Neutrino*, vol. 3, no. 2, pp. 189–198, 2011.
- [9]. M. W. Barsoum, *Fundamentals of Ceramics*. Taylor & Francis, 2002.
- [10]. E. Hastuti and Suasmoro, "Pengaruh Pendopingan  $Y_2O_3$  Terhadap Struktur dan Relaksasi Dipole  $Ba_{0.95}Sr_{0.05}TiO_3$ ," *Jurnal Sains Materi Indonesia*, vol. 7, no. 2, pp. 10–14, 2006.